

$^{55}\text{Mn}(^{28}\text{Si},2\text{pn}\gamma)$  2000Ca07

Type	Author	History Citation	Literature Cutoff Date
Full Evaluation	Balraj Singh	NDS 105, 223 (2005)	22-Jun-2005

E=90 MeV. Measured  $E_\gamma$ ,  $I_\gamma$ ,  $\gamma\gamma$  and lifetimes using Pitt-FSU array consisting of 10 high-purity Compton-suppressed HPGe detectors.

1990CaZT (from the same group as 2000Ca07):  $^{52}\text{Cr}(^{34}\text{S},\alpha\text{np}\gamma)$  E=130 MeV. Measured  $\gamma$ ,  $\gamma\gamma$ ,  $\alpha\gamma$  and  $\text{p}\gamma$  coin, data for two bands. The authors also mention using  $^{65}\text{Cu}(^{19}\text{F},\text{p}3\text{n}\gamma)$  reaction.

Other: 2001Sm05:  $^{55}\text{Mn}(^{32}\text{S},\alpha 2\text{pn})$  E=140 MeV.

Configurations are from 1998Ta07.

$^{80}\text{Rb}$  Levels

E(level) <sup>†</sup>	$J^\pi$ <sup>‡</sup>	E(level) <sup>†</sup>	$J^\pi$ <sup>‡</sup>	$T_{1/2}$	E(level) <sup>†</sup>	$J^\pi$ <sup>‡</sup>	$T_{1/2}$
0	1 <sup>+</sup>	883.4 <sup>a</sup> 14	(7 <sup>-</sup> )		4031.5 <sup>&amp;</sup> 21	(14 <sup>+</sup> )	0.12 ps 5
175.3 <sup>#</sup> 8		1122.7 <sup>@</sup> 19	(9 <sup>+</sup> )		4182.6 <sup>b</sup> 23	(14 <sup>-</sup> )	0.17 ps 6
334.3 <sup>#</sup> 12	3 <sup>(-)</sup>	1204.6 <sup>b</sup> 15	(8 <sup>-</sup> )		4443.6 <sup>@</sup> 22	(15 <sup>+</sup> )	0.12 ps 3
375.7 <sup>#</sup> 8	3 <sup>+</sup>	1541.2 <sup>&amp;</sup> 19	(10 <sup>+</sup> )	0.97 ps 35	4841.8 <sup>a</sup> 24	(15 <sup>-</sup> )	<0.28 ps
397.3 <sup>b</sup> 14	(4 <sup>-</sup> )	1590.8 <sup>a</sup> 16	(9 <sup>-</sup> )		5542.5 <sup>&amp;</sup> 23	(16 <sup>+</sup> )	<0.16 ps
418.4 15	(4 <sup>-</sup> )	1998.6 <sup>b</sup> 18	(10 <sup>-</sup> )	1.0 ps +10-4	5545 <sup>b</sup> 3	(16 <sup>-</sup> )	<0.21 ps
471.7 12	4 <sup>(+)</sup>	2025.4 <sup>@</sup> 19	(11 <sup>+</sup> )	0.30 ps 8	5905.6 <sup>@</sup> 24	(17 <sup>+</sup> )	0.06 ps 3
485.4 14	(5 <sup>-</sup> )	2505.8 <sup>a</sup> 19	(11 <sup>-</sup> )	0.48 ps 14	6137 <sup>a</sup> 3	(17 <sup>-</sup> )	
493.5 14	6 <sup>+</sup>	2679.2 <sup>&amp;</sup> 20	(12 <sup>+</sup> )	0.22 ps 7	7112 <sup>b</sup> 3	(18 <sup>-</sup> )	
496.4 <sup>a</sup> 15	(5 <sup>-</sup> )	2997.6 <sup>b</sup> 21	(12 <sup>-</sup> )	0.40 ps 9	7545 <sup>a</sup> 3	(19 <sup>-</sup> )	0.06 ps +8-3
643.6 <sup>b</sup> 14	(6 <sup>-</sup> )	3149.7 <sup>@</sup> 20	(13 <sup>+</sup> )	0.23 ps 7	7553 <sup>@</sup> 3	(19 <sup>+</sup> )	
650.4 <sup>&amp;</sup> 17	(8 <sup>+</sup> )	3597.8 <sup>a</sup> 22	(13 <sup>-</sup> )	0.31 ps 8	9329 <sup>@</sup> 3	(21 <sup>+</sup> )	<0.083 ps

<sup>†</sup> From least-squares fit to  $E_\gamma$ 's, assuming  $\Delta(E_\gamma)=1$  keV for each  $\gamma$  ray.

<sup>‡</sup> As proposed by 2000Ca07. The assignments are the same in 'Adopted Levels', except that some of these are placed in parentheses there.

# From 1998Ta07.

@ Band(A):  $\pi g_{9/2} \nu g_{9/2}$ ,  $\alpha=1$ .

& Band(a):  $\pi g_{9/2} \nu g_{9/2}$ ,  $\alpha=0$ .

<sup>a</sup> Band(B):  $\pi f_{5/2} \nu g_{9/2}$ ,  $\alpha=1$ .

<sup>b</sup> Band(b):  $\pi f_{5/2} \nu g_{9/2}$ ,  $\alpha=0$ .

$\gamma(^{80}\text{Rb})$

$E_\gamma$	$E_i(\text{level})$	$J_i^\pi$	$E_f$	$J_f^\pi$	$E_\gamma$	$I_\gamma$	$E_i(\text{level})$	$J_i^\pi$	$E_f$	$J_f^\pi$
(8.0 <sup>‡</sup> )	493.5	6 <sup>+</sup>	485.4	(5 <sup>-</sup> )	175 <sup>†</sup>		175.3		0	1 <sup>+</sup>
(21.6 <sup>‡</sup> )	493.5	6 <sup>+</sup>	471.7	4 <sup>(+)</sup>	200 <sup>†</sup>		375.7	3 <sup>+</sup>	175.3	
63	397.3	(4 <sup>-</sup> )	334.3	3 <sup>(-)</sup>	240		883.4	(7 <sup>-</sup> )	643.6	(6 <sup>-</sup> )
78 <sup>†</sup>	496.4	(5 <sup>-</sup> )	418.4	(4 <sup>-</sup> )	246.5		643.6	(6 <sup>-</sup> )	397.3	(4 <sup>-</sup> )
84 <sup>†</sup>	418.4	(4 <sup>-</sup> )	334.3	3 <sup>(-)</sup>	321		1204.6	(8 <sup>-</sup> )	883.4	(7 <sup>-</sup> )
88 <sup>†</sup>	485.4	(5 <sup>-</sup> )	397.3	(4 <sup>-</sup> )	376 <sup>†</sup>		375.7	3 <sup>+</sup>	0	1 <sup>+</sup>
96 <sup>†</sup>	471.7	4 <sup>(+)</sup>	375.7	3 <sup>+</sup>	386		1590.8	(9 <sup>-</sup> )	1204.6	(8 <sup>-</sup> )
157	650.4	(8 <sup>+</sup> )	493.5	6 <sup>+</sup>	387		883.4	(7 <sup>-</sup> )	496.4	(5 <sup>-</sup> )
158	643.6	(6 <sup>-</sup> )	485.4	(5 <sup>-</sup> )	398.0		883.4	(7 <sup>-</sup> )	485.4	(5 <sup>-</sup> )
159 <sup>†</sup>	334.3	3 <sup>(-)</sup>	175.3		412	4 I	4443.6	(15 <sup>+</sup> )	4031.5	(14 <sup>+</sup> )

Continued on next page (footnotes at end of table)

$^{55}\text{Mn}(^{28}\text{Si},2\text{pn}\gamma)$  2000Ca07 (continued) $\gamma(^{80}\text{Rb})$  (continued)

$E_\gamma$	$I_\gamma$	$E_i(\text{level})$	$J_i^\pi$	$E_f$	$J_f^\pi$	$E_\gamma$	$I_\gamma$	$E_i(\text{level})$	$J_i^\pi$	$E_f$	$J_f^\pi$
418	13 1	1541.2	(10 <sup>+</sup> )	1122.7	(9 <sup>+</sup> )	1125	28 2	3149.7	(13 <sup>+</sup> )	2025.4	(11 <sup>+</sup> )
470	12 1	3149.7	(13 <sup>+</sup> )	2679.2	(12 <sup>+</sup> )	1138	51 3	2679.2	(12 <sup>+</sup> )	1541.2	(10 <sup>+</sup> )
472		1122.7	(9 <sup>+</sup> )	650.4	(8 <sup>+</sup> )	1185	21 1	4182.6	(14 <sup>-</sup> )	2997.6	(12 <sup>-</sup> )
484	48 2	2025.4	(11 <sup>+</sup> )	1541.2	(10 <sup>+</sup> )	1244	11 1	4841.8	(15 <sup>-</sup> )	3597.8	(13 <sup>-</sup> )
561.0		1204.6	(8 <sup>-</sup> )	643.6	(6 <sup>-</sup> )	1294	27 2	4443.6	(15 <sup>+</sup> )	3149.7	(13 <sup>+</sup> )
653	4 1	2679.2	(12 <sup>+</sup> )	2025.4	(11 <sup>+</sup> )	1295	9 1	6137	(17 <sup>-</sup> )	4841.8	(15 <sup>-</sup> )
707.5		1590.8	(9 <sup>-</sup> )	883.4	(7 <sup>-</sup> )	1352	21 2	4031.5	(14 <sup>+</sup> )	2679.2	(12 <sup>+</sup> )
794	48 2	1998.6	(10 <sup>-</sup> )	1204.6	(8 <sup>-</sup> )	1362	8 1	5545	(16 <sup>-</sup> )	4182.6	(14 <sup>-</sup> )
882	2 1	4031.5	(14 <sup>+</sup> )	3149.7	(13 <sup>+</sup> )	1408	7 1	7545	(19 <sup>-</sup> )	6137	(17 <sup>-</sup> )
891	100 3	1541.2	(10 <sup>+</sup> )	650.4	(8 <sup>+</sup> )	1462	19 1	5905.6	(17 <sup>+</sup> )	4443.6	(15 <sup>+</sup> )
903	21 1	2025.4	(11 <sup>+</sup> )	1122.7	(9 <sup>+</sup> )	1511	12 1	5542.5	(16 <sup>+</sup> )	4031.5	(14 <sup>+</sup> )
915	40 2	2505.8	(11 <sup>-</sup> )	1590.8	(9 <sup>-</sup> )	1567	2 1	7112	(18 <sup>-</sup> )	5545	(16 <sup>-</sup> )
999	33 1	2997.6	(12 <sup>-</sup> )	1998.6	(10 <sup>-</sup> )	1647	15 1	7553	(19 <sup>+</sup> )	5905.6	(17 <sup>+</sup> )
1092	27 1	3597.8	(13 <sup>-</sup> )	2505.8	(11 <sup>-</sup> )	1776	9 1	9329	(21 <sup>+</sup> )	7553	(19 <sup>+</sup> )

† From 1998Ta07.

‡ From 'adopted gammas'.

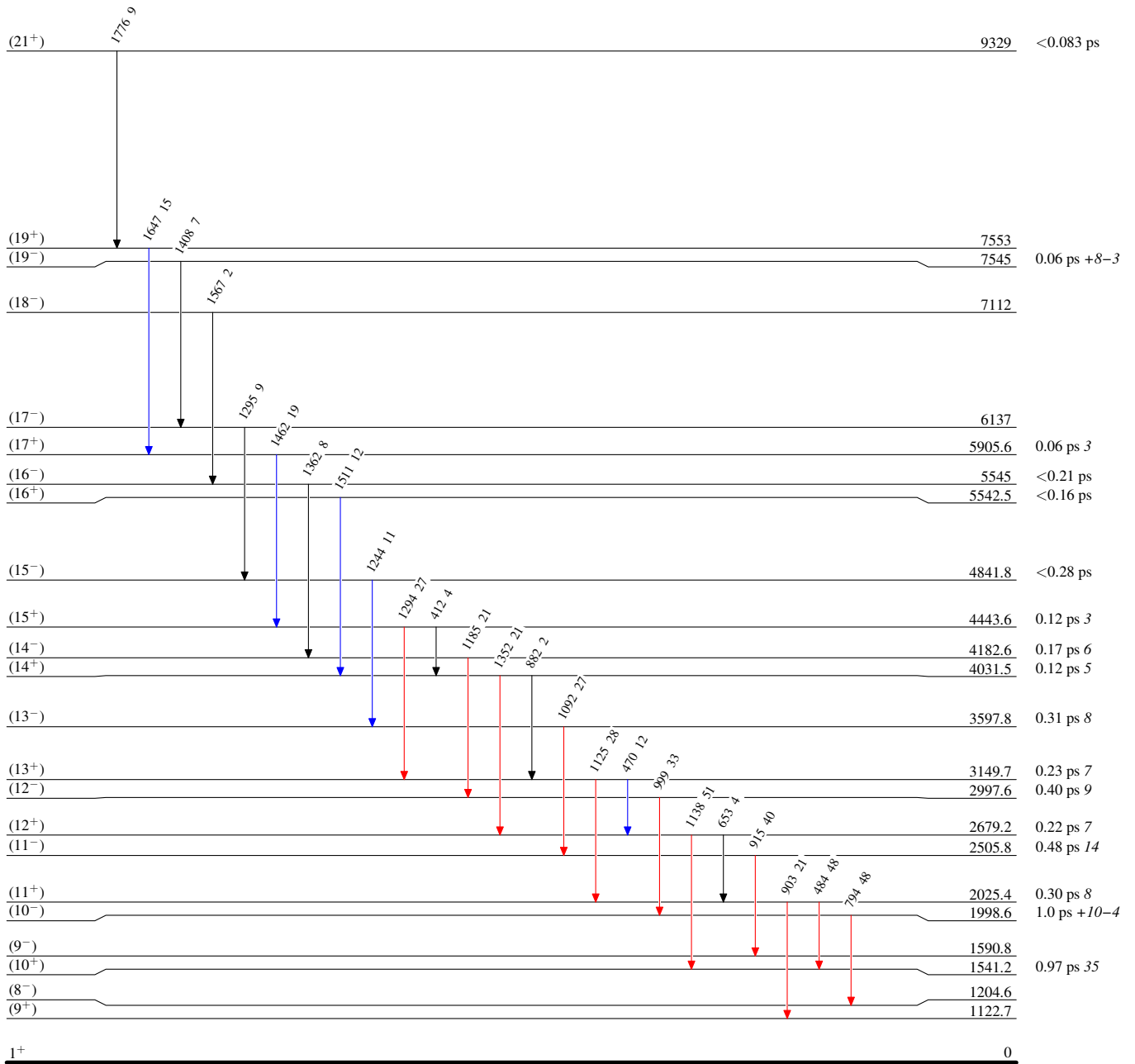
$^{55}\text{Mn}(^{28}\text{Si}, 2\text{pn}\gamma)$  2000Ca07

## Level Scheme

Intensities: Relative  $I_\gamma$ 

## Legend

- $I_\gamma < 2\% \times I_\gamma^{\text{max}}$
- $I_\gamma < 10\% \times I_\gamma^{\text{max}}$
- $I_\gamma > 10\% \times I_\gamma^{\text{max}}$

 $^{80}_{37}\text{Rb}_{43}$

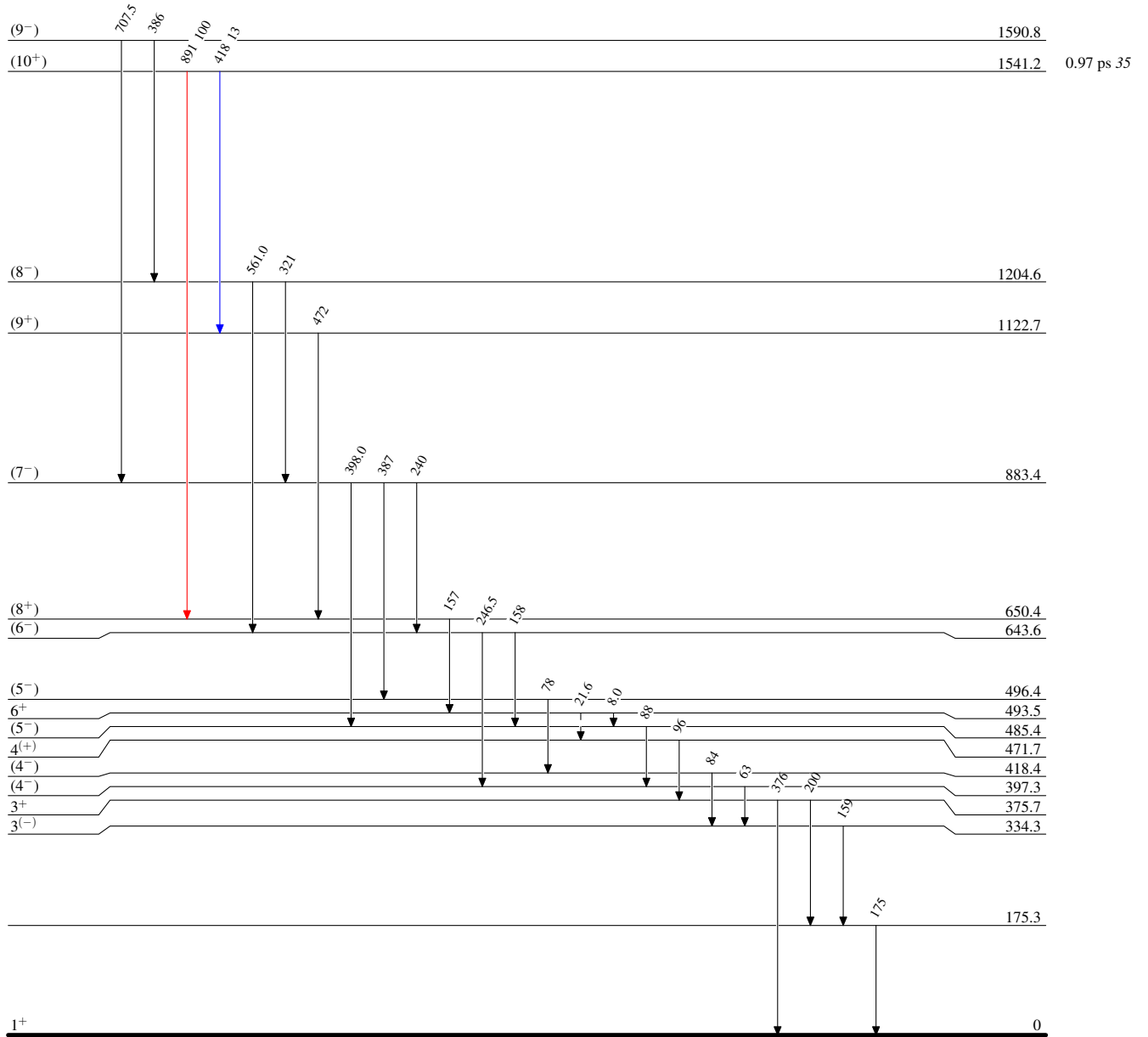
<sup>55</sup>Mn(<sup>28</sup>Si,2pn $\gamma$ ) 2000Ca07

Level Scheme (continued)

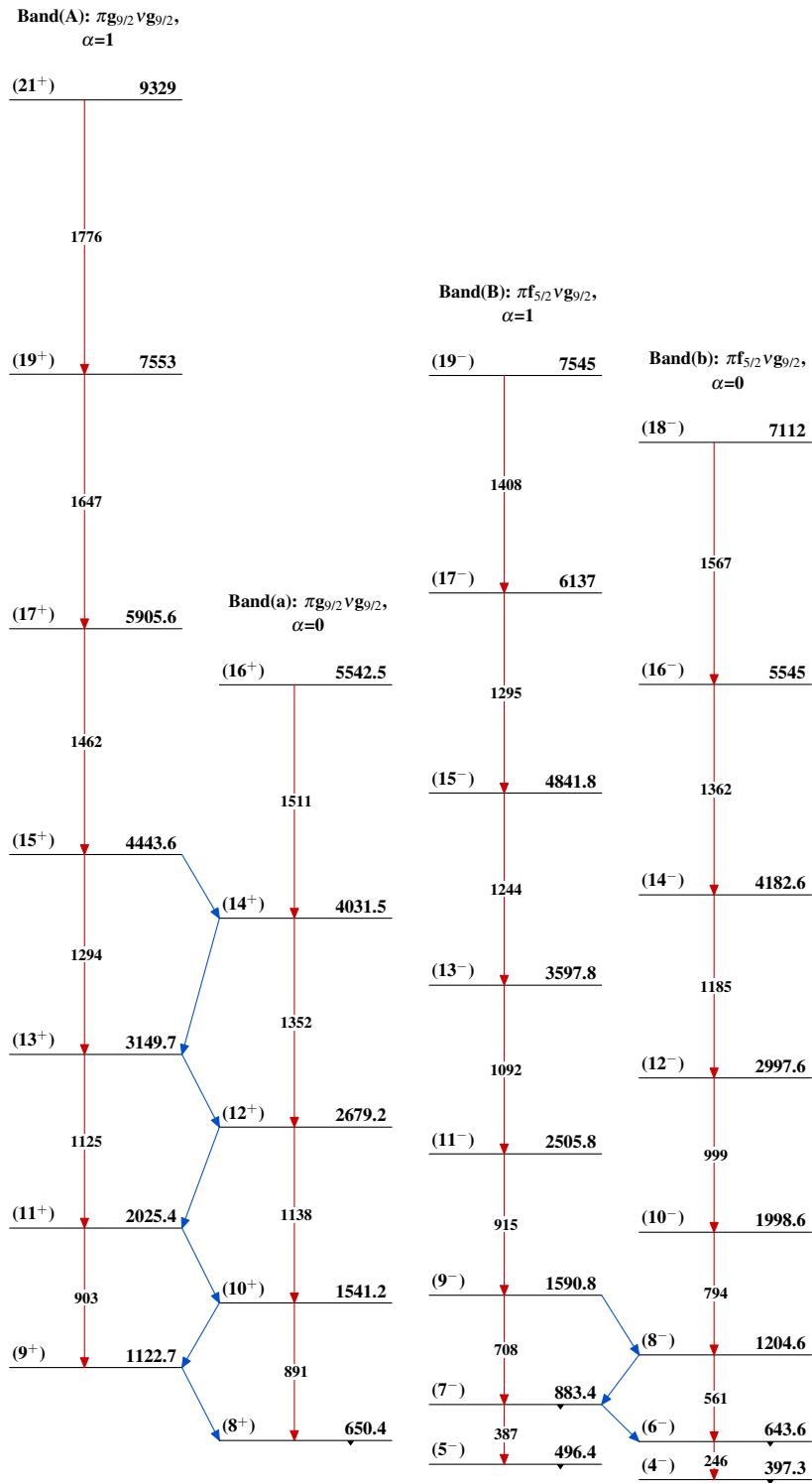
Intensities: Relative I $\gamma$

Legend

- ▶ I $\gamma$  < 2% × I $\gamma$ <sup>max</sup>
- ▶ I $\gamma$  < 10% × I $\gamma$ <sup>max</sup>
- ▶ I $\gamma$  > 10% × I $\gamma$ <sup>max</sup>
- - -▶  $\gamma$  Decay (Uncertain)



<sup>80</sup>Rb<sub>43</sub>

$^{55}\text{Mn}(^{28}\text{Si}, 2\text{pn}\gamma)$  2000Ca07 $^{80}_{37}\text{Rb}_{43}$